## รายชื่อวารสารทั้งหมด

### พบวารสารทั้งหมด 1145 รายการ

\*ท่านสามารถดูรายละเอียดของแต่ละวารสารได้โดยคลิกที่ชื่อของวารสาร

_				
	if_	Sci	inn	
	пе	OG	ш	ĸе

ISSN	E-ISSN	ชื่อไทย	ชื่ออังกฤษ	TCI กลุ่ มที่	ണമ്പ	ເວ็ບໄซຕ໌	нплагнсі
2773- 9201	2730- 3527		<u>Life Sciences and</u> <u>Environment Journal</u>	1	Physical Sciences	https://ph01.tci- thaijo.org/index. php/psru	Formerly known as: Rajabhat Journal of Sciences, Humanities and Social Sciences



# PIBULSONGKRAM RAJABHAT UNIVERSITY

# Life Sciences and Environment Journal



E-ISSN: 2730-3527

P-ISSN: 2773-9201

Vol.22 No.2 July - December 2021

วารสาร Life Sciences and Environment Journal ซึ่งเป็นวารสารวิชาการที่อยู่ในฐานข้อมูล การตีพิมพ์/การอ้างอิงของวารสารระดับประเทศในกลุ่มอาเซียน (ASEAN Citation Index: ACI) และ ฐานข้อมูลระดับชาติ จากศูนย์ดัชนีการอ้างอิงวารสารไทย (Thai Journal Citation Index: TCI) กลุ่ม 1

วารสาร Life Sciences and Environment Journal ปีที่ 22 ฉบับที่ 2 (ประจำเดือน กรกฎาคม – ธันวาคม 2564) ได้พิจารณาคัดเลือกผลงานที่มีคุณภาพในสาขาวิทยาศาสตร์และเทคโนโลยี จำนวนทั้งสิ้น 20 บทความ ซึ่งผ่านการประเมินโดยผู้ทรงคุณวุฒิพิจารณาคุณภาพบทความ (peer review) จึงทำให้แต่ละบทความล้วนมีคุณค่าทางวิชาการ และสามารถนำไปใช้เป็นเอกสารอ้างอิงเพื่อการผลิตผล งานทางวิชาการได้

กองบรรณาธิการและคณะกรรมการจัดทำวารสาร ๆ มหาวิทยาลัยราชภัฏพิบูลสงคราม ขอขอบคุณผู้ทรงคุณวุฒิพิจารณาคุณภาพบทความ ตลอดจนผู้อ่านและผู้สนใจทุกท่านที่ติดตามผลงาน ที่ตีพิมพ์ในวารสาร นำผลงานไปอ้างอิงหรือส่งต้นฉบับเพื่อตีพิมพ์ในวารสารนี้ กองบรรณาธิการหวังเป็น อย่างยิ่งว่าจะได้รับเกียรติและความอนุเคราะห์จากท่านในโอกาสต่อไป

รองศาสตราจารย์ ดร.ธันวดี ศรีธาวิรัตน์ บรรณาธิการ

บ	ทความวิจัย	
•	การประเมินระดับเสียงและสมรรถภาพการได้ยินของพนักงานโรงงานช่อมบำรุงโครงสร้างเหล็ก	
	EVALUATION OF NOISE LEVEL AND NOISE – INDUCED HEARING LOSS OF WORKERS AT STEEL STRUCTU	JRE
	MAINTENANCE FACTORY	
	อรรถกร คำฉัตร เอกนรินทร์ ธนกิจไพรินทร์ และจักรพันธ์ โพธิพัฒน์	128
•	ศักยภาพของเชื้อ <i>BACILLUS</i> SPP. คัดแยกจากดินนาเพื่อควบคุมโรคใบจุดสีน้ำตาล <i>BIPOLARIS</i> SPP. ในข้าว	
	POTENTIAL OF BACILLUS SPP. ISOLATED FROM PADDY SOIL FOR CONTROLING BROWN SPOT DISEASE,	
	BIPOLARIS SPP., IN RICE	
	อารยา บุญศักดิ์ สุดารัตน์ สุตพันธ์ วีรเทพ พงษ์ประเสริฐ และคณิตา เกิดสุข	137
•	การพัฒนาผลิตภัณฑ์ต้นแบบกะปีกึ่งสำเร็จรูป	
	DEVELOPMENT OF PROTOTYPE OF CONVEIENCE SHRIMP PASTE PRODUCT	
	ศศิอาภา บุญคง ข่ายทอง ชุนหสุวรรณ บุษกร สุทธิประภา และจันวิภา ภุมรินทร์	148
•	สภาวการณ์ระบาดของตัวอ่อนพยาธิใบไม้ในโฮสต์กึ่งกลาง จากอำเภอศรีสงคราม จังหวัดนครพนม พ.ศ. 2561	
	INCIDENTAL SITUATION OF TREMATODE LARVAE IN INTERMEDIATE HOSTS FROM SRISONGKRAM DISTRIC	CT,
	NAKHON PHANOM PROVINCE, YEAR 2018	
	อนวัทย์ ผาลี อดิเทพชัยย์การณ์ ภาชนะวรรณ วิจิตรตา อรรถสาร สราวุธ คำพุช และวราภรณ์ ผาลี	158
•	การใช้ประโยชน์จากสีของแอคติโนแบคทีเรียที่คัดแยกจากดินรังต่อ-หมาร่าในการย้อมสีเส้นใยไหม	
	APPLICATION OF THE PIGMENT OF ACTINOBACTERIA ISOLATED FROM THE WASPS-NEST SOIL FOR DYE	ING
	SILK FIBERS	
	สิทธิชัย อุดก่ำ และนฤมล เถื่อนกูล	166
•	การพัฒนาเครื่องป้อนเชื้อเพลิงชีวมวลสำหรับเตาชีวมวล	
	DEVELOPMENT OF BIOMASS FEEDER FOR BIOMASS STOVE	
	ปฏิพัทธิ์ ถนอมพงษ์ชาติ ยสินทินี เอมหยวก และภคมน ปินตานา	181
•	ความชุกและปัจจัยที่มีความสัมพันธ์กับการเกิดอุบัติเหตุจากการทำงานของคนงานก่อสร้างทางรถไฟฟ้าแห่งหน็	เ่งใน
	จังหวัดนนทบุรี	
	PREVALENCE AND FACTORS RELATED TO WORK-RELATED ACCIDENTS AMONG ELECTRIC RAILWAY	
	CONSTRUCTION WORKERS IN NONTHABURI PROVINCE	
	พชรกมล กลั่นบุศย์ ชไมพร คำมาก ศิริพร เขม้นเขตวิทย์ และวัชราภรณ์ วงศ์สกุลกาญจน์	192
•	การเพิ่มประสิทธิภาพและลดต้นทุนการผลิตด้านโลจิสติกส์ด้วยแบบจำลองทางคณิตศาสตร์ของอุตสาหกรรม	
	ผลิตชิ้นส่วนยานยนต์ กรณีศึกษา บริษัท พี อี เทคนิค จำกัด จังหวัดพิษณุโลก	
	EFFICIENCY ENHANCEMENT AND REDUCING LOGISTICS COST WITH MATHEMATICAL MODEL OF AUTO P	ART'
	INDUSTRY A CASE STUDY: P.E TECHNIC CO., LTD. IN PHITSANULOK PROVINCE	
	ธณิดา โขนงนุข และอลงกรณ์ เมืองไหว	205

•	ปริมาณแคโรทีนอยด์และสารต้านอนุมูลอิสระในอะโวคาโด เสาวรส และกระชายดำ จากท้องถิ่นอำเภอเขาค้อ	
	จังหวัดเพชรบูรณ์	
	CAROTENOID CONTENTS AND ANTIOXIDANT ACTIVITIES IN AVOCADO, PASSION FRUIT AND BLACK GING	SER
	FROM KHAO KHO DISTRICT, PHETCHABUN PROVINCE AREA	
	ชชุรัตน์ ศรีจันทวงศ์ ขนิษฐา ศรีนวล วิลาสินี ดีปัญญา กฤติกา บูรณโชคไพศาล	
	และขวัญจิตต์ อนุกูลวัฒนา	216
•	การออกแบบและสร้างเครื่องวัดมุมองศาสำหรับเตียงผู้ป่วยบาดเจ็บที่สมองเพื่อป้องกันภาวะความดัน	
	ในกะโหลกศีรษะสูง	
	DESIGN AND BUILD THE ANGLE METER FOR THE BED OF TRAUMATIC BRAIN INJURY PATIENTS TO PREV	ENT
	INCREASED INTRACRANIAL PRESSURE	
	อภิรักษ์ ทัดสอน และกิตติศักดิ์ คงสีไพร	224
•	ผลของการเสริมดอกแคแดง แคแสด และสุพรรณิการ์ในอาหารไก่ไข่ต่อสมรรถภาพการผลิต คุณภาพไข่	
	และค่าโลหิตวิทยา	
	EFFECTS OF SESBANIA GRANDIFLORA (L.) DESV, SPATHODEA CAMPANULATE (P.) BEAUV. AND	
	COCHLOSPERMUM REGIUM (L.) ALSTON. FLOWERS SUPPLEMENTATION LAYER DIET ON EGG PRODUCT	ION,
	EGG QUALITY AND BLOOD PARAMETERS	
	สุภาวดี แหยมคง สุกัญยา แตงโม สิริพร ห้าวหาญ พัทธนันท์ โกธรรม ประภาศิริ ใจผ่อง ทศพร อินเจริญ	
	และศิริวรรณ ม่วงทอง	238
•	HOST PREFERENCE OF THE PUMPKIN FRUIT FLY, ZEUGODACUS TAU (WALKER) UNDER LABORATORY	
	CONDITIONS	
	ศุภกร กาญจนาอังกูร และดวงตา จุลศิริกุล	252
•	TECHNOLOGY ACCEPTANCE MODEL TO EVALUATE THE ADOPTION OF THE INTERNET OF THINGS	
	FOR PLANTING MAIZE	
	พณณา ตั้งวรรณวิทย์ และกนิฐา แสงกระจ่าง	262
•	การประยุกต์ใช้พอลิไดอะเซทติลีนรีเอเจนต์ในระบบโฟลอินเจคชันสเปกโทรโฟโตเมทริกอย่างง่าย	
	สำหรับการวิเคราะห์ไอออนตะกั่ว	
	APPLICATION OF POLYDIACETYLENE REAGENTS IN SIMPLE FLOW INJECTION SPECTROPHOTOMETRIC ST	YSTEM
	FOR DETERMINATION OF LEAD IONS	
	อภิชาติ บุญมาลัย และธนัชพร พัฒนาธรชัย	274
•	ปัจจัยทางฟิสิกส์ที่มีผลต่อการอบแห้งลำไย	
	PHYSICAL FACTROS AFFECTING LONGAN DRYING	
	จักรพรรณ์ ผิวสอาด	287
•	การออกแบบและทดสอบระบบควบคุมอุณหภูมิเครื่องอบแห้งพลังงานแสงอาทิตย์แบบโดมพาราโบลา	
	DESIGN AND TESTING TEMPERATURE CONTROLLER SYSTEM OF DOME PARABOLA SOLAR DRYER	
	วีระศักดิ์ จุลภักดิ์ และชานนท์ บุญมีพิพิธ	297

•	การเพิ่มศักยภาพในการผลิตก๊าซมีเทนจากเส้นใยปาล์ม โดยการปรับสภาพด้วยเอทานอล	
-	ENHANCING THE POTENTIAL OF METHANE PRODUCTION FROM OIL PALM FIBER BY ETHANOL	
	PRETREATMENT	
	อรสา นาบ้าน สุพัตรา ชูเปีย บุญญา ชาญนอก พลากร บุญใส และสุชีวรรณ ยอยรู้รอบ	308
•	การผลิตและฤทธิ์การต้านออกซิเดชันของโปรตีนไฮโดรไลเสตจากเนื้อเมล็ดข้าว	
	PRODUCTION AND ANTIOXIDANT ACTIVITY OF PROTEIN HYDROLYSATE FROM RICE SEED KERNEL	
	สุภาวดี แก้วโภคา และจันทกานต์ นุชสุข	320
•	EVALUATION OF TIME-DEPENDENT PERFORMANCE FOR THE 10,000-METRE MINI MARATHON	
	RUNNER VIA NEWTON'S SECOND LAW OF MOTION	
	รัตนาภรณ์ รัตนวิชัย ปิยรัตน์ มูลศรี และอาทิตย์ หู้เต็ม	332
•	ขีดความสามารถในการรองรับด้านกายภาพของแหล่งท่องเที่ยว น้ำตกธารทิพย์ จังหวัดเพชรบูรณ์	
	PHYSICAL CARRYING CAPACITY OF THAN THIP WATERFALL, PHETCHABUN PROVINCE	
	ธนาวรรณ พิณะเวศน์ และพรทวี กองร้อย	346

EVALUATION OF TIME-DEPENDENT PERFORMANCE FOR
THE 10,000-METRE MINI MARATHON RUNNER VIA NEWTON'S
SECOND LAW OF MOTION

รัตนาภรณ์ รัตนวิชัย ปิยรัตน์ มูลศรี และอาทิตย์ หู้เต็ม\*

Rattanaporn Rattanawichai, Piyarut Moonsri and Artit Hutem\*

Abstract

In this paper, the motion models for the 10,000-metre mini marathon runner were proposed. We calculated velocity which depended on time and force parameter for the runner. The velocity from running record data, theoretical mathematics, and physics model were compared. We evaluated the models for the 10,000-metre runner by the method of Newton's second law and differential equations. Data from 10,000-metre men final round of IAAF World Athletics Championships Doha 2019 were used for analysis of velocity and time parameters for runners. The initial velocity, endurance coefficient and coefficient drag force parameters with motion models were defined using Mathematica software. An initial force  $(f_0)$  that refined from model 1 was higher than that from model 2 and 3 respectively. The endurance coefficient  $(\beta)$  parameter is lowest in model 1 but highest in model 2 and the coefficient drag force  $(\alpha)$  parameter from model 3 is less than model 2 and 1 respectively. Correlation coefficient by the experiment data and motion model 2 is 0.871605 which was more than model 3 (0.870055) and model 1 (0.86942).

Keywords: Velocity, Correlation, Endurance

คณะวิทยาศาสตร์และเทคโนโลยี มหาวิทยาลัยราชภัฏเพชรบูรณ์ อำเภอเมือง จังหวัดเพชรบูรณ์ 67000

Faculty of Science and Technology, Phetchabun Rajabhat University, Muang District, Phetchabun Province 67000

\*corresponding author e-mail: artithutem@pcru.ac.th

Received: 21 July 2021; Revised: 19 October 2021; Accepted: 20 October 2021

DOI: https://doi.org/10.14456/lsej.2021.19

#### Introduction

With "Kawkonlakaw" trend that running for donation for hospital makes running is famous sport for health. The 10,000-metre run or mini marathon is a famous running event that has registered in run event more than the 21,000-metre run or half marathon and 42,000-metre or marathon (Bruce & Tim, 1981). The 10,000-metre run is suitable for both new runners and old runners because of its moderate distance (Begizew et al., 2018).

Therefore, this study developed mathematics and physics model for the 10,000-metre runner. The scheme of the paper is as follows. We constructed force models for the 10,000-metre runner. We calculated velocity depended on time for the runner. We compared the results of velocity from running record data and theoretical mathematics and physics model.

Helene & Yamashita (2010) proposed that a sprint's time-dependent force decreases with the according to  $f(t) = F - \beta t$ , where F is initial force (N),  $\beta$  is the endurance coefficient  $(s^{-1})$ . Tiago et al. (2016) studied the drive force, the maintenance time-dependent force  $(f_m = f_1 \exp(-ct))$  for runner when c is a constant value  $(s^{-1})$ . Begizew et al. (2018) studied about lower-extremity running-related injuries among 10,000-meter long distance runners in Ethiopia. They established the incidence and the risk factors associated with lower-extremity running-related injuries amongst 10,000-meter long distance runners in Ethiopia. Pietro et al. (2014) estimated the energetics and biomechanics of accelerated/decelerated running on flat terrain base on its biomechanical similarity to constant speed running up/down an 'equivalent slope' dictated by forward acceleration  $(a_t)$ .

Keller (1974) developed a mathematics and physics model of competitive running that predicts the form of the time-dependent velocity curve for a runner using his resources in an optimal way. According to Keller's theory, the time-dependent force f(t) per unit mass at time t, applied by a sprinter in the direction of motion, may be written as  $f(t) = \frac{dv(t)}{dt} + \frac{v(t)}{\tau}$  where v(t) is the time-dependent velocity and  $\tau$  is a damping coefficient (N) (Joseph, 1973).

#### Materials and Method

#### Linear equation of motion models

We are interested in studying the motion of male 10,000-metre runner when the applied force is time-dependent decreasing function; that is f = f(t). The mass of 10,000-metre runner m starting (run) with an initial velocity v(0) = 0 is exerted on by the applied force time-dependent decreasing function:

$$f_{r1}(t) = \frac{f_0}{\beta^2} (t^2 + 2t) e^{-\beta^2(t+2)} + \frac{f_0}{\beta^2} (\text{model 1}), \quad f_{r2}(t) = \frac{f_0}{\beta^2} (t^2 + 4t + 4) e^{-\beta^2(t+2)} + \frac{f_0}{\beta^2}$$

(model 2) and  $f_{r3}(t) = \frac{f_0}{\beta^2} (t^2 + 6t + 9)e^{-\beta^2(t+2)} + \frac{f_0}{\beta^2}$  (model 3) where t is the time of

10,000-metre runner,  $f_0$  is the initial force for runner (N) and the performance parameter  $\beta$   $(s^{-1})$  is the positive constant (Tiago et al., 2016).

The 
$$f_{r1}(t) = \frac{f_0}{\beta^2} (t^2 + 2t) e^{-\beta^2(t+2)} + \frac{f_0}{\beta^2}$$
,  $f_{r2}(t) = \frac{f_0}{\beta^2} (t^2 + 4t + 4) e^{-\beta^2(t+2)} + \frac{f_0}{\beta^2}$  and

$$f_{r3}(t) = \frac{f_0}{\beta^2}(t^2 + 6t + 9)e^{-\beta^2(t+2)} + \frac{f_0}{\beta^2}$$
 are the force of ground field act to the runner

due to force and weight (gravitation force) of the runner that press to the ground field. The  $\beta$  is speed endurance of runner. We assume that the air resistance is proportional to velocity. Thus, the Newton's second law of equation of motion is:

$$\sum F = m \frac{dv}{dt},$$

$$f(t) - \alpha v = \frac{mdv}{dt} \tag{1}$$

$$\frac{dv_{r1}}{dt} + \frac{\alpha}{m}v_{r1} = \frac{f_0}{m\beta^2} (t^2 + 2t)e^{-\beta^2(t+2)} + \frac{f_0}{m\beta^2}$$
 (2)

$$\frac{dv_{r2}}{dt} + \frac{\alpha}{m}v_{r2} = \frac{f_0}{m\beta^2}(t^2 + 4t + 4)e^{-\beta^2(t+2)} + \frac{f_0}{m\beta^2}$$
(3)

$$\frac{dv_{r3}}{dt} + \frac{\alpha}{m}v_{r3} = \frac{f_0}{m\beta^2}(t^2 + 6t + 9)e^{-\beta^2(t+2)} + \frac{f_0}{m\beta^2}$$
(4)

where  $v_{r1}(t)$ ,  $v_{r2}(t)$  and  $v_{r3}(t)$  (Hutem, 2019; Hutem et al., 2017) are the velocity time-dependent of the 10,000-metre runner  $(ms^{-1})$  and  $\alpha$  is the coefficient drag force (Jalilian et al., 2014; Keokhumcheng, 2020). The equation (2), (3) and (4) are called the

formula for in-homogeneous linear differential equation. The solution of equation (2), (3) and (4) is:

$$v_{r1}(t) = e^{-\frac{\alpha}{m}t} \left[ \frac{f_0}{m\beta^2} \int (t^2 + 2t) e^{-\beta^2(t+2)} e^{\frac{\alpha}{m}t} dt + \frac{f_0}{m\beta^2} \int e^{\frac{\alpha}{m}t} dt + c_1 \right]$$
 (5)

$$v_{r2}(t) = e^{-\frac{\alpha}{m}t} \left[ \frac{f_0}{m\beta^2} \int (t^2 + 4t + 4)e^{-\beta^2 t - 2\beta^2 + \frac{\alpha}{m}t} dt + \frac{f_0}{m\beta^2} \int e^{\frac{\alpha}{m}t} dt + c_2 \right]$$
 (6)

$$v_{r3}(t) = e^{-\frac{\alpha}{m}t} \left[ \frac{f_0 e^{-2\beta^2}}{m\beta^2} \int (t^2 + 6t + 9) e^{\left(\frac{\alpha}{m} - \beta^2\right)t} dt + \frac{f_0}{m\beta^2} \cdot \frac{m}{\alpha} e^{\frac{\alpha}{m}t} + c_3 \right]$$
(7)

With this definition, the parameter becomes  $\delta = \frac{\alpha}{m} - \beta^2$ . Therefore the velocity time-dependent model 1,2 and 3 of the 10,000-metre runner can be written as:

$$v_{r1}(t) = \frac{f_0 e^{-\beta^2 (t+2)}}{m \beta^2} \left( \frac{t^2}{\delta} - \frac{2t}{\delta^2} + \frac{2}{\delta^3} + \frac{2t}{\delta} - \frac{2}{\delta^2} \right) + \frac{f_0}{\alpha \beta^2} + c_1 e^{-\frac{\alpha}{m}t}$$
 (8)

$$v_{r2}(t) = \frac{f_0 e^{-\beta^2(t+2)}}{m\beta^2} \left( \frac{2}{\delta^3} - \frac{(2t+4)}{\delta^2} + \frac{(t^2+4t+4)}{\delta} \right) + \frac{f_0}{\alpha\beta^2} + c_2 e^{-\frac{\alpha}{m}t}$$
(9)

$$v_{r3}(t) = \frac{f_0 e^{-\beta^2(t+2)}}{m\beta^2} \left( \frac{2}{\delta^3} - \frac{(2t+6)}{\delta^2} + \frac{(t^2+6t+9)}{\delta} \right) + \frac{f_0}{\alpha\beta^2} + c_3 e^{-\frac{\alpha}{m}t}$$
 (10)

It should be noted that if the initial velocity time-dependent model 1,2 and 3 is zero, that is, if at t = 0, v(0) = 0 we obtain:

$$\therefore c_1 = -\left[\frac{f_0}{\alpha\beta^2} + \frac{f_0 e^{-2\beta^2}}{m\beta^2} \left[ \frac{2}{\left(\frac{\alpha}{m} - \beta^2\right)^3} - \frac{2}{\left(\frac{\alpha}{m} - \beta^2\right)^2} \right] \right]$$

$$\tag{11}$$

$$\therefore c_2 = -\left[ \frac{f_0}{\alpha \beta^2} + \frac{f_0 e^{-2\beta^2}}{m \beta^2} \left( \frac{2}{\delta^3} - \frac{4}{\delta^2} + \frac{4}{\delta} \right) \right]$$
 (12)

$$\therefore c_3 = -\left[\frac{f_0}{\alpha\beta^2} + \frac{f_0e^{-2\beta^2}}{m\beta^2} \left(\frac{2}{\delta^3} - \frac{6}{\delta^2} + \frac{9}{\delta}\right)\right]$$
(13)

Substitution equation (11), (12) and (13) into equation (8), (9) and 10, we get therefore the velocity time-dependent model 1 complete solutions of the 10,000-metre runner as the followings:

$$v_{r1}(t) = \frac{f_0 e^{-\beta^2 (t+2)}}{m\beta^2} \left( \frac{2}{\left(\frac{\alpha}{m} - \beta^2\right)^3} - \frac{(2t+2)}{\left(\frac{\alpha}{m} - \beta^2\right)^2} + \frac{t^2 + 2t}{\frac{\alpha}{m} - \beta^2} \right) + \frac{f_0}{\alpha \beta^2}$$

$$- \left( \frac{f_0}{\alpha \beta^2} + \frac{f_0 e^{-2\beta^2}}{m\beta^2} \left( \frac{2}{\left(\frac{\alpha}{m} - \beta^2\right)^3} - \frac{2t}{\left(\frac{\alpha}{m} - \beta^2\right)^2} \right) \right) e^{-\frac{\alpha}{m}t}$$
(14)

$$v_{r2}(t) = \frac{f_0 e^{-\beta^2 (t+2)}}{m\beta^2} \left( \frac{2}{\left(\frac{\alpha}{m} - \beta^2\right)^3} - \frac{(2t+4)}{\left(\frac{\alpha}{m} - \beta^2\right)^2} + \frac{(t^2 + 4t + 4)}{\frac{\alpha}{m} - \beta^2} \right) + \frac{f_0}{\alpha\beta^2}$$

$$- \left[ \frac{f_0}{\alpha\beta^2} + \frac{f_0 e^{-2\beta^2}}{m\beta^2} \left( \frac{2}{\left(\frac{\alpha}{m} - \beta^2\right)^3} - \frac{4}{\left(\frac{\alpha}{m} - \beta^2\right)^2} + \frac{4}{\frac{\alpha}{m} - \beta^2} \right) \right] e^{-\frac{\alpha}{m}t}$$
(15)

$$v_{r3}(t) = \frac{f_0 e^{-\beta^2 (t+2)}}{m\beta^2} \left( \frac{2}{\left(\frac{\alpha}{m} - \beta^2\right)^3} - \frac{(2t+6)}{\left(\frac{\alpha}{m} - \beta^2\right)^2} + \frac{(t^2 + 6t + 9)}{\frac{\alpha}{m} - \beta^2} \right) + \frac{f_0}{\alpha \beta^2}$$

$$- \left[ \frac{f_0 e^{-2\beta^2}}{m\beta^2} \left( \frac{2}{\left(\frac{\alpha}{m} - \beta^2\right)^3} - \frac{6}{\left(\frac{\alpha}{m} - \beta^2\right)^2} + \frac{9}{\frac{\alpha}{m} - \beta^2} \right) \right] e^{-\frac{\alpha}{m}t}$$
(16)

A graph of the velocity time-dependent motion is given by equation (14), (15) and (16) for the 10,000-metre runner at the 2019 IAAF World Athletics Championships which is shown by the velocity function of time curve in section 4 as numerical results. The velocity of equation (14) as a function of time is presented in Figure 1. The velocity of equation (15) as a function of time is presented in Figure 2. The velocity of equation (16) as a function of time is presented in Figure 3.

#### Calculation procedure the runner velocity from experiment.

- 1. The IAAF World Athletics Championships Doha 2019 10,000-metre men results record has been downloaded from the world athletics website.
  - 2. Distance and times from record have been input to the data table.
- 3. Time information form from minute: second: millisecond has been changed into the second form.

- 4. The velocity every 100 metres has been calculated by using formula  $velocity = \frac{distance}{time}$
- 5. We can create ordered pairs between times and velocity of the 10,000-metre runner.

#### Calculation procedure on Mathematica.

- 1. We can use "Clear" command to clear parameter value of model1, data1,  $f_0$ ,  $oldsymbol{eta}, lpha$  and m
- 2. The value of m has been inputted, we can find the value from the average mass value of first four fastest 10,000 metres men runner at the IAAF World Athletics Championships DOHA 2019.
- 3. Data1, 101 ordered pairs between times and velocity from the IAAF World Athletics Championships DOHA 2019 record, has been inputted.
  - 4. The velocity time-dependent model equation has been inputted.
  - 5. We can use "FindFit" command to find  $f_{0}$  ,  $oldsymbol{eta}$  and lpha parameter value.
- 6. We can use "Clear" command to clear parameter value of model1, data1,  $f_0$ ,  $oldsymbol{eta}, lpha$  and m
  - 7. The value of  $f_0$ ,  $\beta$ ,  $\alpha$  and m value has been inputted.
- 8. We can use "Plot" command to plot a model1 graph between time (s) and velocity (m/s).
- 9. Data2, 101 ordered pairs between times and velocity from the IAAF World Athletics Championships DOHA 2019 record, has been inputted.
- 10. We can use "Plot" command to plot a graph between time (s) and velocity (m/s) from ordered pairs in data2.
- 11. We can use "Show" command to compare the model 1 graph and data 2 graph in same frame.
  - 12. We can use "Clear" command to clear parameter value of  $f_0$ ,  $\beta$ ,  $\alpha$ , t and m
  - 13. The value of  $f_0$ ,  $\beta$ ,  $\alpha$  and m has been inputted.
- 14. The value of t has been inputted and use "SetPrecision" command to find velocity from t = 15.54 to t = 1608.36 correspondingly.
- 15. We can be using "Correlation" command to find correlation value of velocity from experiment and velocity from the motion model.

#### Results

According to experiment data, 10,000-metre runners usually use a highest velocity at the start and relatively stable speed for long distance run before accelerating at the end as shown in the Table 1 and Figure 1-3.

**Table 1** Representation time, velocity and percentage difference velocity value parameter of running for the 10,000-metre runner: IAAF World Athletics Championships Doha 2019 and motion model

	Velocity experiment		Vala ett.		% Diffe	erence Ve	locity
Time	( IAAF World Athletics		Velocity		experiment	and Velo	ity model
rime	Championships Doha	Model	Model	Model	Model	Model	Model
	2019)	1	2	3	1	2	3
15.54	6.44	6.43	6.43	6.45	0.08	0.08	0.23
31.31	6.39	6.42	6.40	6.38	0.50	0.19	0.12
47.72	6.29	6.28	6.29	6.29	0.11	0.05	0.05
64.13	6.24	6.21	6.23	6.23	0.44	0.12	0.12
80.43	6.22	6.18	6.19	6.20	0.59	0.43	0.27
97.21	6.17	6.16	6.17	6.17	0.20	0.04	0.04
113.98	6.14	6.15	6.16	6.16	0.14	0.30	0.30
130.47	6.13	6.15	6.15	6.15	0.30	0.30	0.30
147.07	6.12	6.15	6.15	6.15	0.50	0.50	0.50
163.67	6.11	6.15	6.15	6.15	0.65	0.65	0.65
180.20	6.10	6.14	6.15	6.15	0.58	0.75	0.75
196.52	6.11	6.14	6.14	6.14	0.55	0.55	0.55
213.02	6.10	6.14	6.14	6.14	0.61	0.61	0.61
229.36	6.10	6.14	6.14	6.14	0.59	0.59	0.59
245.81	6.10	6.14	6.14	6.14	0.62	0.62	0.62
261.92	6.11	6.14	6.14	6.14	0.51	0.51	0.51
278.11	6.11	6.14	6.14	6.14	0.45	0.45	0.45
294.56	6.11	6.14	6.14	6.14	0.48	0.48	0.48
311.10	6.11	6.14	6.14	6.14	0.53	0.53	0.53
327.24	6.11	6.14	6.14	6.14	0.46	0.46	0.46
343.43	6.11	6.14	6.14	6.14	0.41	0.41	0.41
359.90	6.11	6.14	6.14	6.14	0.44	0.44	0.44
376.31	6.11	6.14	6.14	6.14	0.46	0.46	0.46

**Table 1** Representation time, velocity and percentage difference velocity value parameter of running for the 10,000-metre runner: IAAF World Athletics Championships Doha 2019 and motion model (cont.)

	Velocity experiment		\/a  a a!+ .		% Difference Velocity			
Time	( IAAF World Athletics		Velocity		experiment	and Veloc	ity model	
Tille	Championships Doha	Model	Model	Model	Model	Model	Model	
	2019)	1	2	3	1	2	3	
392.91	6.11	6.14	6.14	6.14	0.52	0.52	0.52	
409.43	6.11	6.14	6.14	6.14	0.55	0.55	0.55	
425.53	6.11	6.14	6.14	6.14	0.49	0.49	0.49	
440.64	6.13	6.14	6.14	6.14	0.20	0.20	0.20	
456.28	6.14	6.14	6.14	6.14	0.06	0.06	0.06	
472.25	6.14	6.14	6.14	6.14	0.01	0.01	0.01	
488.23	6.14	6.14	6.14	6.14	0.08	0.08	0.08	
505.38	6.13	6.14	6.14	6.14	0.10	0.10	0.10	
521.23	6.14	6.14	6.14	6.14	0.01	0.01	0.01	
537.64	6.14	6.14	6.14	6.14	0.03	0.03	0.03	
554.20	6.13	6.14	6.14	6.14	0.08	0.08	0.08	
570.73	6.13	6.14	6.14	6.14	0.12	0.12	0.12	
587.33	6.13	6.14	6.14	6.14	0.17	0.17	0.17	
603.80	6.13	6.14	6.14	6.14	0.20	0.20	0.20	
620.24	6.13	6.14	6.14	6.14	0.22	0.22	0.22	
636.30	6.13	6.14	6.14	6.14	0.18	0.18	0.18	
652.38	6.13	6.14	6.14	6.14	0.14	0.14	0.14	
668.66	6.13	6.14	6.14	6.14	0.14	0.14	0.14	
684.51	6.14	6.14	6.14	6.14	0.07	0.07	0.07	
700.40	6.14	6.14	6.14	6.14	0.01	0.01	0.01	
716.51	6.14	6.14	6.14	6.14	0.01	0.01	0.01	
732.58	6.14	6.14	6.14	6.14	0.04	0.04	0.04	
748.55	6.15	6.14	6.14	6.14	0.08	0.08	0.08	
765.12	6.14	6.14	6.14	6.14	0.05	0.05	0.05	
781.61	6.14	6.14	6.14	6.14	0.02	0.02	0.02	
797.86	6.14	6.14	6.14	6.14	0.02	0.02	0.02	
813.20	6.15	6.14	6.14	6.14	0.14	0.14	0.14	

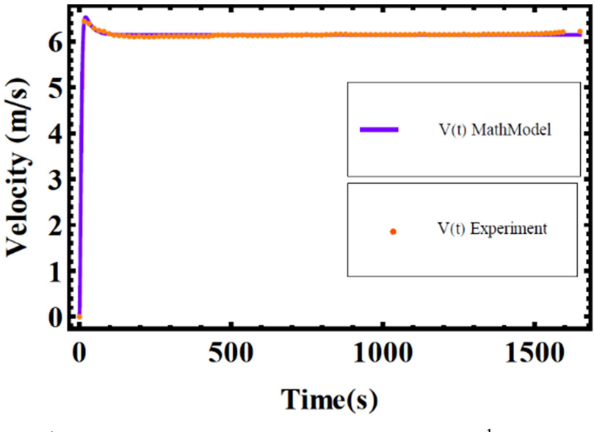
**Table 1** Representation time, velocity and percentage difference velocity value parameter of running for the 10,000-metre runner: IAAF World Athletics Championships Doha 2019 and motion model (cont.)

	Velocity experiment		\/-l*1		% Diffe	erence Velo	ocity
	(IAAF World Athletics		Velocity		experiment	and Veloci	ty model
Time	Championships Doha	Model	Model	Model	Model	Model	Model
	2019)	1	2	3	1	2	3
828.86	6.15	6.14	6.14	6.14	0.21	0.21	0.21
844.59	6.16	6.14	6.14	6.14	0.27	0.27	0.27
860.75	6.16	6.14	6.14	6.14	0.28	0.28	0.28
877.29	6.16	6.14	6.14	6.14	0.25	0.25	0.25
893.91	6.15	6.14	6.14	6.14	0.21	0.21	0.21
910.52	6.15	6.14	6.14	6.14	0.17	0.17	0.17
926.91	6.15	6.14	6.14	6.14	0.15	0.15	0.15
943.14	6.15	6.14	6.14	6.14	0.16	0.16	0.16
959.53	6.15	6.14	6.14	6.14	0.14	0.14	0.14
976.13	6.15	6.14	6.14	6.14	0.11	0.11	0.11
992.51	6.15	6.14	6.14	6.14	0.10	0.10	0.10
1,008.76	6.15	6.14	6.14	6.14	0.10	0.10	0.10
1,024.81	6.15	6.14	6.14	6.14	0.12	0.12	0.12
1,041.07	6.15	6.14	6.14	6.14	0.12	0.12	0.12
1,057.42	6.15	6.14	6.14	6.14	0.11	0.11	0.11
1,073.36	6.15	6.14	6.14	6.14	0.15	0.15	0.15
1,089.15	6.15	6.14	6.14	6.14	0.19	0.19	0.19
1,105.19	6.15	6.14	6.14	6.14	0.21	0.21	0.21
1,120.96	6.16	6.14	6.14	6.14	0.25	0.25	0.25
1,136.85	6.16	6.14	6.14	6.14	0.28	0.28	0.28
1,153.64	6.15	6.14	6.14	6.14	0.23	0.23	0.23
1,169.80	6.15	6.14	6.14	6.14	0.24	0.24	0.24
1,186.12	6.15	6.14	6.14	6.14	0.24	0.24	0.24
1,202.28	6.15	6.14	6.14	6.14	0.24	0.24	0.24
1,218.90	6.15	6.14	6.14	6.14	0.21	0.21	0.21
1,234.91	6.15	6.14	6.14	6.14	0.23	0.23	0.23

**Table 1** Representation time, velocity and percentage difference velocity value parameter of running for the 10,000-metre runner: IAAF World Athletics Championships Doha 2019 and motion model (cont.)

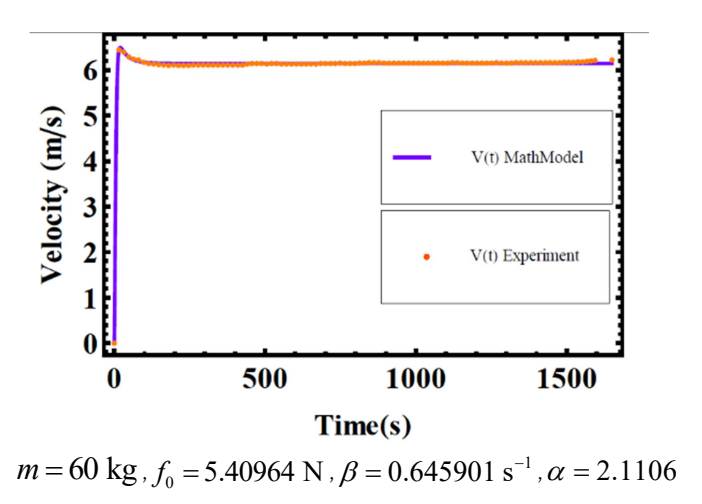
	Velocity experiment	,	Velocity			ifference Ve	•	
Time	( IAAF World Athletics				experiment and Velocity mod			
	Championships Doha	Model	Model	Model	Model	Model	Model	
	2019)	1	2	3	1	2	3	
1,251.05	6.15	6.14	6.14	6.14	0.24	0.24	0.24	
1,267.09	6.16	6.14	6.14	6.14	0.26	0.26	0.26	
1,283.72	6.15	6.14	6.14	6.14	0.23	0.23	0.23	
1,300.16	6.15	6.14	6.14	6.14	0.21	0.21	0.21	
1,316.10	6.15	6.14	6.14	6.14	0.24	0.24	0.24	
1,331.94	6.16	6.14	6.14	6.14	0.27	0.27	0.27	
1,348.25	6.16	6.14	6.14	6.14	0.26	0.26	0.26	
1,364.50	6.16	6.14	6.14	6.14	0.26	0.26	0.26	
1,380.96	6.16	6.14	6.14	6.14	0.25	0.25	0.25	
1,397.01	6.16	6.14	6.14	6.14	0.26	0.26	0.26	
1,413.13	6.16	6.14	6.14	6.14	0.27	0.27	0.27	
1,429.35	6.16	6.14	6.14	6.14	0.27	0.27	0.27	
1,445.02	6.16	6.14	6.14	6.14	0.31	0.31	0.31	
1,460.79	6.16	6.14	6.14	6.14	0.34	0.34	0.34	
1,476.29	6.16	6.14	6.14	6.14	0.39	0.39	0.39	
1,491.73	6.17	6.14	6.14	6.14	0.44	0.44	0.44	
1,507.11	6.17	6.14	6.14	6.14	0.50	0.50	0.50	
1,522.46	6.17	6.14	6.14	6.14	0.56	0.56	0.56	
1,537.82	6.18	6.14	6.14	6.14	0.61	0.61	0.61	
1,552.98	6.18	6.14	6.14	6.14	0.68	0.68	0.68	
1,567.27	6.19	6.14	6.14	6.14	0.80	0.80	0.80	
1,580.48	6.20	6.14	6.14	6.14	0.98	0.98	0.98	
1,594.24	6.21	6.14	6.14	6.14	1.13	1.13	1.13	
1,608.36	6.22	6.14	6.14	6.14	1.25	1.25	1.25	
	Correlation Coef	ficient			0.86942	0.871605	0.870055	

We show plot of velocity for 10,000-metre runner from the experimental data and motion models.

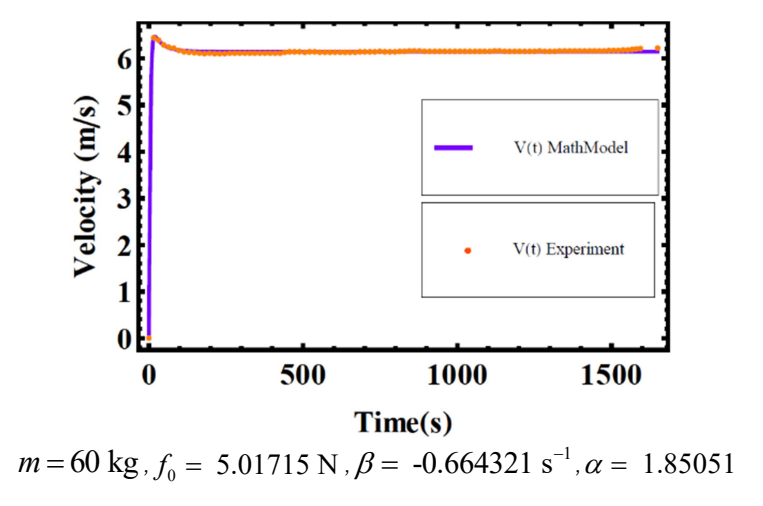


m = 60 kg,  $f_0 = 6.35835 \text{ N}$ ,  $\beta = 0.631508 \text{ s}^{-1}$ ,  $\alpha = 2.59491$ 

**Figure 1** Comparison of the velocity-time obtained from the experimental data and motion model 1 of the applied force time-dependent decreasing function for 10,000-metre runner in IAAF World Athletics Championships Doha 2019.



**Figure 2** Comparison of the velocity-time obtained from the experimental data and motion model 2 of the applied force time-dependent decreasing function for 10,000-metre runner in IAAF World Athletics Championships Doha 2019.



**Figure 3** Comparison of the velocity-time obtained from the experimental data and motion model 3 of the applied force time-dependent decreasing function for 10,000-metre runner in IAAF World Athletics Championships Doha 2019.

#### Discussions

From Table 1, it is the comparison of the quantity velocity of the 10,000-metre runner in IAAF World Athletics Championships Doha 2019. The applied force is time-dependent decreasing function of mathematical and physics motion model 1, 2 and 3 with velocity data obtained from the experiment. The velocity of 10,000-metre runner from applied force is time-dependent decreasing function of mathematical, which is in agreement with previous studies in velocity of long distance runner (Bruce & Tim, 1981), and physics motion model 1 has a more different percentage from experiment. This is consistent with correlation coefficient model = 0.86942 but the velocity of 10,000-metre runner from the applied force is time-dependent decreasing function of mathematical and physics motion model 2 has less different percentage from the experiment. This is consistent with correlation coefficient model = 0.871605. The velocity of 10,000-metre runner from the applied force is time-dependent decreasing function of mathematical and physics motion model 3 has less different percentage from the experiment. This is consistent with correlation coefficient model = 0.870055.

Apart from time, coefficient drag force  $(\alpha)$ , speed endurance of runner  $(\beta)$  and initial force  $(f_0)$  are the factors that affect running speed. Compared to motion model of the 100-metre runner's by Helene & Yamashita (2010); Tiago et al. (2016) and

Keller (1974), and the 10,000-metre runner's motion model, it was found that  $\beta$  of the 10,000-metre runner's value was greater than  $\beta$  of the 100-metre runner's motion model due to mini marathon is longer distance than 100-metre sprint (Thongsit et al., 2019). The 10,000-metre runner's running time is more than 160 times of 100-metre runners. The value of  $f_0$  in a 100-metre sprint is higher than that in a 10,000-metre runner because of short sprints, the time required for sprints is much less, so it takes effort to reach the initial speed as much as possible. Finally, the variable  $(\alpha)$  is the wind force that hits the runner's body, which can vary according to the position and weather conditions in each location.

#### Conclusions

An initial force  $(f_0)$  that refined from model 1 was higher than that from model 2 and model 3 respectively. The endurance coefficient  $(\beta)$  was lowest in model 1 and the coefficient drag force  $(\alpha)$  from model 3 is less than that in model 2 and model 1 respectively. Correlation coefficient by the experiment data and motion model 2 is more than that in model 1 and 3. The motion model 2 is the most suitable model to explain the 10,000-metre mini marathon runner factors.

#### Acknowledgement

The authors would like to thank International Association of Athletics Federations for providing results data of the Doha (2019) 10,000 metres run on their web page.

#### References

- Begizew DM, Grace JM, Van Heerden HJ. Lower-extremity running-related injuries among 10,000-meter long distance runner in Ethiopia. Journal of Human sport and Exercise 2018;14(2):358-373.
- Bruce E, Tim A. Biomechanical effects of fatigue on 10,000 Meter running technique. Research quarterly for exercise and sport 1981;52(2):160-166.
- Helena O, Yamashita MT. The force, power, and energy of the 100 meter sprint. American Journal of Physics 2010;78(3):307-309.
- Hutem A, Chansrakaew A, Sornchai T, Hutem S. Comparison of the mathematics and physics models fitting of velocity time-dependent for Usain Bolt in the 100 metres sprint. Journal of Biomimetics, Biomaterials and Biomedical Engineering 2017;31(11):11-21

- Hutem A. Evaluation of the theory mathematics modeling of velocity function of time via the applied force time-dependent cosine oscillation of Usain Bolt in 100 meter sprint. Journal of Physical Education and Sport 2019;19(2):369-375.
- Jalilian P, Kreun PK, Makhmalbaf MM, Liou WW. Computational aerodynamics of baseball, soccer ball and Volleyball, American Journal of Sports Science 2014;2(5):115-121.
- Joseph BK. A theory of competitive running. Physics Today 1973;26(9):42-47.
- Keller JB. Optimal velocity in a race. The American Mathematical Monthly 1974;81(5):474-480.
- Keokhumcheng Y. A study of drag force on single cylindrical bodies in open channel flow. UTK Research Journal 2020;14(1):75-90.
- Pietro E. di Prampero, Alberto B, Cristian O. The energy cost of sprint running and the role of metabolic power in setting top performance. European Journal of Applied Physiology 2014;115(3):451-469
- Thongsit N, Sangnok Y, Wannapak W, Khoomsab K, Iamsamang S, Sangnok S. et al. Theory mathematics and physics model fitting of kinematic parameter for usain bolt 100 metres sprint at Beijing Olympic Games 2008. Applied Mechanics and Materials 2019;886(10):201-205.
- Tiago MB, Pedro F, Daniel AM. Victor MR. Comparison of the world and European records in the 100m dash by a quasi-physical model. Procedia Engineering 2016;147(1):122-126.
- Tibshirani R. Who is the fastest man in the world?. The American Statistician 1997;51(2):106-111.